

# Modelos Dinâmicos Bayesianos

Helio S. Migon      Mariane B. Alves

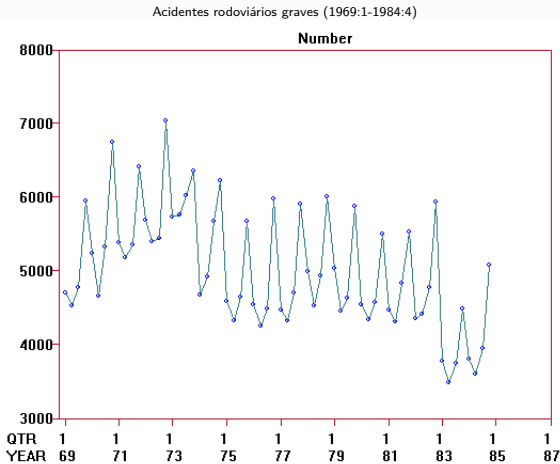
Instituto de Matemática  
Universidade Federal do Rio de Janeiro

2018

- ✓ Superposição de modelos
  - ✓ Fator de desconto
  - ✓ Regressão dinâmica
  - ✓ Sazonalidade
-

# Superposição de modelos

Muitas séries temporais exibem um comportamento bastante complexo. Ao identificarmos as características mais marcantes, estamos caminhando na direção de formular um modelo. A série de acidentes é um exemplo típico.



- A tendência global parece ser de uma variação suave do nível.
- Se agora nos concentramos na variação em torno desse nível, podemos detectar um comportamento cíclico.

Essa inspeção permitiu identificar os *dois componentes de um modelo*:

- A estrutura dos modelos dinâmicos é apropriada, pois permite que as componentes sejam modeladas separadamente e depois integradas num modelo.
- No caso mais comum de duas componentes: tendência e sazonalidade, estruturamos a equação das observações com dois termos.

$$y_t = y_{Nt} + y_{St} + v_t$$

Cada um dos termos é descrito através de um modelo dinâmico

$$\begin{aligned} y_{Nt} &= F'_{Nt} \theta_{Nt} \\ \theta_{Nt} &= G_{Nt} \theta_{Nt-1} + w_{Nt} \end{aligned}$$

$$\begin{aligned} y_{St} &= F'_{St} \theta_{St} \\ \theta_{St} &= G_{St} \theta_{St-1} + w_{St} \end{aligned}$$

Se agora integramos esses termos, obtemos a [equação das observações](#)

$$y_t = \mathbf{F}'\boldsymbol{\theta}_t + \mathbf{v}_t$$

onde  $\mathbf{F} = \begin{pmatrix} F_{Nt} \\ F_{St} \end{pmatrix}$  e  $\boldsymbol{\theta} = \begin{pmatrix} \theta_{Nt} \\ \theta_{St} \end{pmatrix}$

Similarmente, a [equação do sistema \(integrado\)](#) fica

$$\boldsymbol{\theta}_t = \mathbf{G}\boldsymbol{\theta}_{t-1} + \mathbf{w}_t; \quad \mathbf{w}_t \sim \mathbf{N}(\mathbf{0}, \mathbf{W}_t)$$

onde  $\mathbf{G}_t = \begin{pmatrix} G_{Nt} & 0 \\ 0 & G_{St} \end{pmatrix}$  e  $\mathbf{W}_t = \begin{pmatrix} W_{Nt} & 0 \\ 0 & W_{St} \end{pmatrix}$

- Até agora, não foi discutido o processamento da incerteza relativa a  $W$ .
- A abordagem Bayesiana para parâmetros desconhecidos é sempre a mesma: [atualização via teorema de Bayes](#).
- O tratamento dado à variância das observações é analítico. O mesmo não acontece com a variância do sistema.

Felizmente, existe uma solução baseada em **fatores de desconto** que produz uma alternativa aceitável.

- Como já dissemos, o *valor da informação diminui com o tempo*.
- Essa diminuição é controlada pela evolução do sistema, através do aumento da incerteza do sistema.

Mais especificamente, se a equação do sistema é

$$\theta_t = \mathbf{G}\theta_{t-1} + \omega_t, \quad \omega_t \sim N(\mathbf{0}, \mathbf{W}_t)$$

temos que, para  $V(\theta_{t-1}|D_{t-1}) = \mathbf{C}_{t-1}$ ,

$$\mathbf{R}_t = V(\theta_t|D_{t-1}) = \mathbf{P}_t + \mathbf{W}_t$$

onde  $\mathbf{P}_t = V(\mathbf{G}_t\theta_{t-1}|D_{t-1}) = \mathbf{G}_t \mathbf{C}_{t-1} \mathbf{G}'_t$  e  $\mathbf{W}_t = \mathbf{R}_t - \mathbf{P}_t$ .

Se definimos  $\delta$  de tal forma que  $\mathbf{R}_t = \mathbf{P}_t/\delta$  podemos interpretar  $\delta$  como a **percentagem de informação** que passa de  $t-1$  para  $t$  e nesse caso

$$\mathbf{W}_t = \mathbf{R}_t - \mathbf{P}_t = \mathbf{P}_t/\delta - \mathbf{P}_t = \mathbf{P}_t(\delta^{-1} - 1).$$

- No caso de superposição de modelos (ex.: tendência + sazonalidade) podemos extender o raciocínio acima.
- No caso geral de  $k$  modelos, poderíamos definir

$$\mathbf{P}_{i,t} = V(\mathbf{G}_{it}\theta_{i,t-1} | D_{t-1}), \quad i = 1, 2, \dots, k$$

e utilizar um desconto  $\delta_i$ ,  $i = 1, 2, \dots, k$  para cada bloco de forma que  $\mathbf{R}_{i,t} = \mathbf{P}_{i,t}/\delta_i$  e  $\mathbf{W}_i = \mathbf{P}_{i,t}(\delta_i^{-1} - 1)$ .

- O modelo total obtido pela superposição das  $k$  componentes teria então  $\mathbf{W}_t = \text{diag}(\mathbf{W}_{1,t}, \dots, \mathbf{W}_{k,t})$ , onde  $\mathbf{W}_{i,t}$  seria dado como acima.

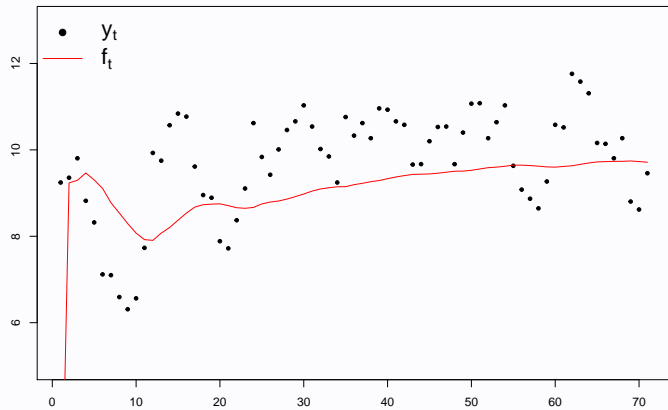
O **fator de desconto**  $\delta$  é a percentagem de informação que passa de um período a outro.

- Valores típicos para sistemas sem variações bruscas se encontram acima de 90%
- A escolha do valor adequado vai depender da aplicação e sugere-se que alguns valores sejam comparados.
- Valores muito próximos não produzem diferenças perceptíveis.
- Valores muito **baixos** (abaixo de 0,8) tendem a introduzir **muita incerteza** e produzem limites de incerteza para predição muito grandes.
- Valores muito **altos** representam um sistema com **mudanças muito suaves**.
- No limite, quando  $\delta = 1$ , temos o modelo estático onde não há perda de informação.
- A mesma idéia de desconto pode ser estendida a modelos mais gerais com vários descontos aplicados a partes diferentes do modelo. Essa formulação ficará mais clara quando abordamos superposição de modelos.

- Ilustramos o uso de fatores de desconto com a série de vendas de um doce (SALES) do arquivo CANDY.DAT.
- As figuras a seguir apresentam as previsões um passo a frente resultantes do ajuste de um modelo de tendência constante com os seguintes fatores de desconto: 1,0; 0,9 e 0,8

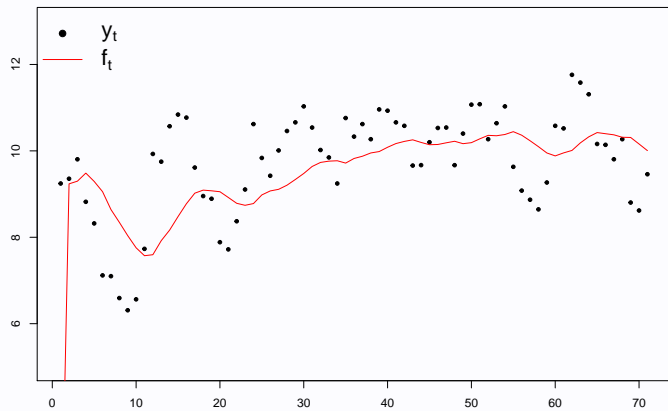
Fator de desconto  $\delta = 1$  (estrutura estática)

Previsão 1 passo a frente:



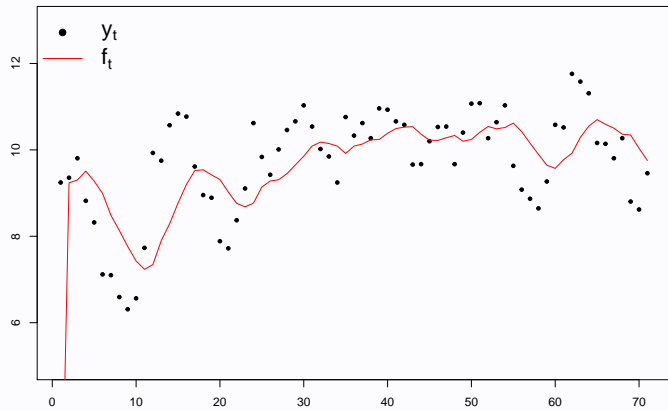
Fator de desconto  $\delta = 0.9$  (estrutura estática)

Previsão 1 passo a frente:



Fator de desconto  $\delta = 0.8$  (estrutura estática)

Previsão 1 passo a frente:



- O modelo genérico usado para introduzir os modelos dinâmicos foi obtido a partir de uma generalização dos modelos de regressão.
- Se a série de *vendas*, ( $y_t$ ) é explicada pela série de *preços* ( $x_t$ ) temos:

$$\begin{aligned}y_t &= \mu_t + \beta_t x_t + \nu_t \\ \mu_t &= \mu_{t-1} + w_{1t} \\ \beta_t &= \beta_{t-1} + w_{1t}\end{aligned}$$

*Nada na estrutura acima impede que outras variáveis sejam incluídas como regressores.*

No caso de uma série  $y_t$  com variáveis explicativas  $x_{1t}, \dots, x_{pt}$ , temos

$$y_t = \beta_{0t} + \beta_{1t}x_{1t} + \dots + \beta_{pt}x_{pt} + \nu_t$$

$$\beta_{it} = \beta_{i,t-1} + w_{it}; \quad i = 0, 1, \dots, p$$

chamado de **modelo de regressão dinâmica**

A estrutura de modelo dinâmico é evidente com:

- $\mathbf{F}'_t = (1, x_{1t}, \dots, x_{pt})$
- $\mathbf{G}_t = \mathbf{I}_{p+1}$ , a matriz identidade de ordem  $p+1$  e
- $\mathbf{w}'_t = (w_{0t}, w_{1t}, \dots, w_{pt})$

# MLD de Regressão Múltipla

Eq. observação:  $y_t = \mathbf{F}'_t \theta_t + \nu_t, \quad \nu_t \sim N[0, V_t]$

Eq. sistema:  $\theta_t = \theta_{t-1} + \omega_t, \quad \omega_t \sim N[\mathbf{0}, \mathbf{w}_t]$

onde

$\mathbf{F}_t = (\mathbf{X}_{t1}, \dots, \mathbf{X}_{tn})'$  : vetor de regressoras

$X_1, \dots, X_n$  : variáveis independentes

$X_{ti}$  : valor da  $i$ -ésima variável  $X$  no instante  $t$

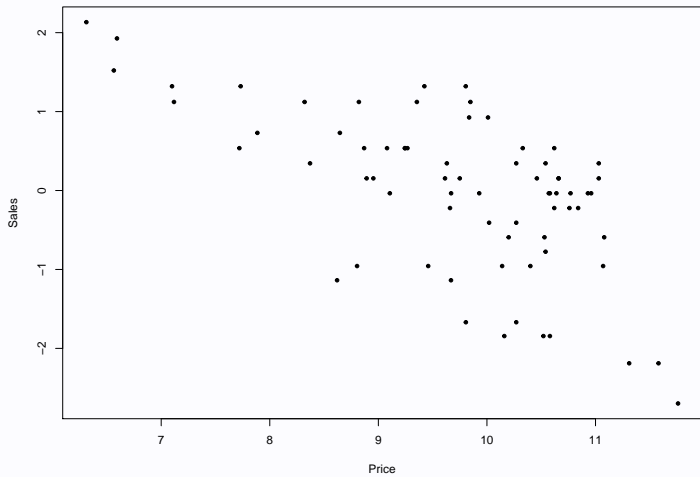
$\theta_t$  :  $n \times 1$  vetor de parâmetros da regressão

$\omega_t$  : matriz da variância de  $\theta_t$ .

- Os dados deste exemplo correspondem as vendas e preços mensais de um doce do arquivo CANDY.DAT.
- Espera-se que série de vendas (SALES) esteja relacionada à série de preços (PRICE).
- Nas figuras a seguir apresentam-se alguns resultados do ajuste de um modelo de regressão dinâmica com tendência estável, utilizando o preço como variável explicativa.

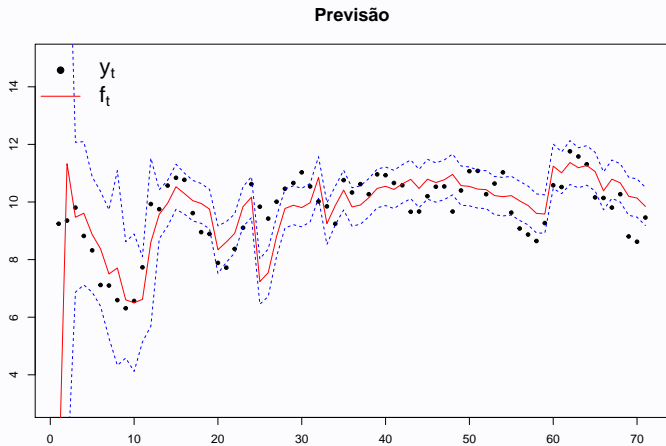
Observa-se um aparente movimento comum das 2 séries.

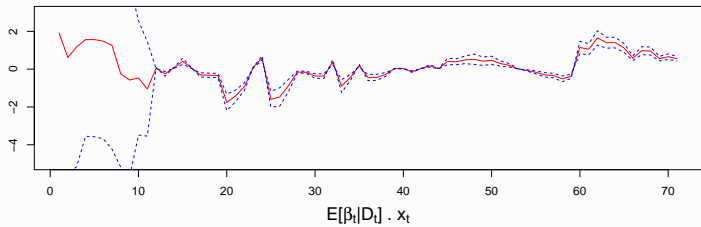
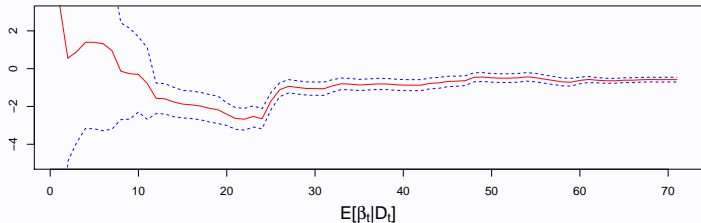




As previsões exibem melhorias consideráveis em comparação com os modelos sem preços.

(Descontos: Nível - 0.9, Covariável - 0.99)

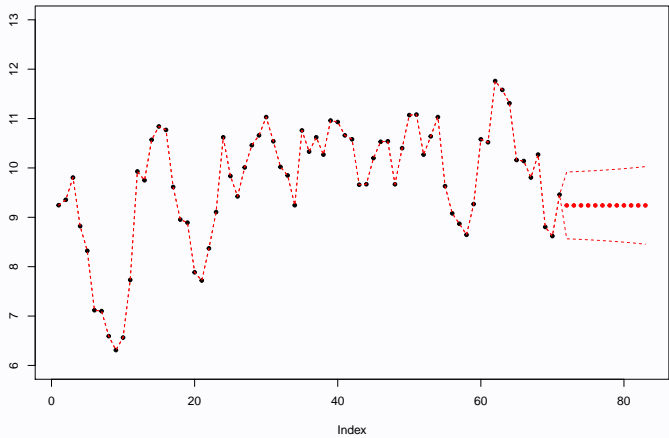




- Para fazer previsão em modelos com regressoras, é *necessário ter o valores das regressoras ao longo do horizonte de previsão.*
- Normalmente, esses valores também são incertos e o tratamento a ser dado é muito mais complicado.
- Uma alternativa intermediária é fazer previsão sob vários cenários plausíveis.

Neste caso todos os valores de preço para o período de predição são zero, portanto, as previsões têm a forma constante do modelo estável.

Previsão 12 passos a frente



- 1 Modelos sazonais *requerem uma componente periódica* no modelo.
- 2 A representação mais simples é através de **fatores ou indicadores de cada período no ciclo**. Para dados trimestrais, são usados quatro indicadores.
- 3 Uma pequena alteração envolve o uso de efeitos indicando a variação sazonal em torno de um nível. Nesse caso, os efeitos estão restritos a ter soma zero.

- 4 Fatores trimestrais de 100, 140, 80 e 120 equivalem a um nível de 110 e efeitos trimestrais de - 10, 30, - 30 e 10.
- 5 A última formulação é mais atraente pois permite a separação entre sazonalidade e tendência.
- 6 A restrição deve ser mantida em todas as afirmações probabilísticas mas é facilmente incorporável ao método de inferência utilizado.

# Definições

Seja  $g(t)$  qualquer função real definida para os inteiros não-negativos, onde  $t$  é o indexador de tempo.

- i.  $g(t)$  é cíclica ou periódica se, para algum inteiro  $p \geq 1$ ,  
$$g(t + np) = g(t), \text{ para todo inteiro } t \geq 0 \text{ e } n \geq 0.$$
- ii. O menor inteiro  $p$  para o qual o ítem anterior é válido é chamado de período de  $g(.)$ .
- iii.  $g(.)$  exibe um ciclo completo para todo intervalo de  $p$  pontos consecutivos:  $(t, t + p - 1), \forall t \geq 0$  .
- iv. Os fatores sazonais de  $g(.)$  são os  $p$  valores de qualquer ciclo completo:  $\theta_j = g(j) \quad j = 0, 1, 2, \dots, p - 1$ . Note que, para  $t > 0$ ,  $g(t) = g(j)$  onde  $j$  é o resto da divisão de  $t$  por  $p$ . ( $j = p \mid t$ )

# Definições

- v. O vetor de fatores sazonais em  $t$  é simplesmente o vetor de fatores sazonais permutados, de modo que o primeiro elemento é aquele para o tempo  $t$

$$\theta_t = (\theta_j, \theta_{j+1}, \dots, \theta_{p-1}, \theta_0, \dots, \theta_{j-1})'$$

quando o fator sazonal corrente é  $\theta_j$ . Em particular, para quaisquer inteiros  $n$  e  $k = np$ ,

$$\theta_k = (\theta_0, \dots, \theta_{p-1})'.$$

- vi. Em qualquer ciclo, o tempo correspondente ao fator sazonal  $\theta_j$  tem um rétulo,  $M(j)$ . Claramente, os rétulos são cíclicos com período  $p$  e  $j = p \mid t$  se, e só se,  $M(j) = t$ .

# Caracterização de fatores sazonais cíclicos

- Duas possibilidades: (i) indicadores ou (ii) funções trigonométricas.
- A cada ponto no tempo fica associado um vetor de fatores sazonais.
- Seja um ciclo completo de  $p$  períodos. Denote cada fator por  $\theta_1, \theta_2, \dots, \theta_p$ . O vetor de fatores sazonais em  $t$  é denotado por  $\theta_t$ .
- Se o modelo consistir somente da componente sazonal, então o nível da série no tempo  $t$ ,  $\mu_t$  é dado pelo primeiro componente de  $\theta_t$  e pode ser obtido como  $\mu_t = \mathbf{E}'_p \theta_t$  onde  $\mathbf{E}'_p = (1, \underbrace{0, 0, \dots, 0}_{(p-1) \text{ termos}})$ .

Se tempo  $t$  corresponde ao  $j$ -ésimo período, então  $t+1$  corresponderá ao  $(j+1)$ -ésimo. Permutando o vetor  $\theta_t$  obtemos

$$\theta'_{t+1} = (\theta_{j+1}, \dots, \theta_p, \theta_1, \dots, \theta_j) \quad \text{e} \quad \mu_{t+1} = \mathbf{E}'_p \theta_{t+1}.$$

A passagem de  $\theta_t$  para  $\theta_{t+1}$  é realizada através de

$$\mathbf{P}_p = \begin{pmatrix} \mathbf{0} & \mathbf{I}_{p-1} \\ 1 & \mathbf{0}' \end{pmatrix},$$

i.é.:  $\theta_{t+1} = \mathbf{P}_p \theta_t$  onde  $\mathbf{P}_p$  tq.  $\mathbf{P}_p^{k+np} = \mathbf{P}_p^k$ .

Essa formulação leva à definição do modelo sazonal

$$\text{Eq. das Obs.: } y_t = \mathbf{E}'_p \theta_t + \nu_t \quad \nu_t \sim N[0, V_t] \quad (1)$$

$$\text{Eq. Sist.: } \theta_t = \mathbf{P}_p \theta_{t-1} + \omega_t \quad \omega_t \sim N[0, \mathbf{W}_t] \quad (2)$$

$$(\theta_0 | D_0) \sim N(\mathbf{m}_0, \mathbf{C}_0) \quad (3)$$

# Observações

- (i) Se  $\mathbf{W}_t = c\mathbf{I}_p$ , os erros  $\omega_t$  são não correlacionadas e o problema se reduz à análise de  $p$  modelos de 1a. ordem, se a priori  $\mathbf{C}_0 = \text{diag}(c_1, \dots, c_p)$ . Pois não haverá troca de informação entre diferentes níveis de ciclo sazonal;
- (ii) Para obter a função de previsão suponha que  $\theta_t = (\theta_1, \dots, \theta_p)'_t$  e, portanto,  $E(\theta_t|D_t) = \mathbf{m}_t = (m_{t,1}, \dots, m_{t,p})'$ . A previsão  $h$ -passos-a-frente é dada por

$$\begin{aligned}f_t(h) &= E(y_{t+h}|D_t) = E(\mu_{t+h}|D_t) \\&= E(\mathbf{E}_p\theta_{t+h}|D_t) = \mathbf{E}_p\mathbf{P}_p^h E(\theta_t|D_t) = \mathbf{E}_p\mathbf{P}_p^h\mathbf{m}_t \\&= \mathbf{E}_p(m_{t,h+1}, \dots, m_{t,p}, m_{t,1}, \dots, m_{t,h})' \\&= m_{t,h+1}\end{aligned}$$

A modelagem por indicadores sazonais é feita através de um nível médio e **variações sazonais com relação a este nível médio  $\mu_t$** . Assim os fatores sazonais satisfazem a  $1'\theta_t = \sum_{j=1}^p \theta_{t,j} = 0$ .

- 2) Restrições são preservadas pelo modelo dinâmico com  $\mathbf{1}'\omega_t = 0$ .

Uma vez garantidas essas restrições podemos redefinir o modelo sazonal como

$$\begin{aligned}
 \text{Eq. Observações: } y_t &= \mu_t + \theta_{t,j} + \nu_t \quad \nu_t \sim N[0, V_t] \\
 &= \mu_t + \mathbf{E}'_p \theta_t + \nu_t \\
 &= \mathbf{F}' \beta_t + \nu_t
 \end{aligned}$$

$$\begin{aligned}
 \text{Eq. do Sistema : } \mu_t &= \mu_{t-1} + \omega_{0,t}, \quad \omega_{0,t} \sim N(0, W_{0,t}) \\
 \theta_t &= \mathbf{P}_p \theta_{t-1} + \omega_t \quad \omega_t \sim N(0, \mathbf{W}_t) \quad (4)
 \end{aligned}$$

$$\text{Inf. Inicial : } (\mu_0 | D_0) \sim N(m_{00}, \mathbf{C}_{00}) \quad (\theta_0 | D_0), \sim N(\mathbf{m}_0, \mathbf{C}_0)$$

Restrição adicional :  $\mathbf{1}'\theta_t = 0, \forall t$ .

Supondo novamente que  $E[\beta_t | D_t] = (m_{t,0}, m_{t,1}, \dots, m_{t,p})'$  onde  $\sum_{j=1}^p m_{t,j} = 0$  temos a função de previsão dada por

$$\begin{aligned}
 f_t(h) &= E(y_{t+h} | D_t) \\
 &= E(\mu_{t+h} + \mathbf{E}'_p \theta_{t+h} | D_t) \\
 &= E(\mu_{t+h} | D_t) + \mathbf{E}'_p E(\theta_{t+h} | D_t) \\
 &= E(\mu_t + \sum_{j=1}^h \omega_{0,t+j} | D_t) + \mathbf{E}'_p E(\mathbf{P}_p^h \theta_t + \sum_{j=1}^h \mathbf{P}_p^{h-j} \omega_{t+j} | D_t) \\
 &= E(\mu_t | D_t) + \mathbf{E}'_p E(\mathbf{P}_p^h \theta_t | D_t) \\
 &= m_{t,0} + m_{t,h+1}
 \end{aligned}$$

## Exemplo

{ Para dados trimestrais, os modelos dinâmicos utilizam quatro indicadores. A passagem do tempo faz com que eles experimentem uma rotação. Assim,

$$\theta_{t-1} = \begin{pmatrix} trim4 \\ trim1 \\ trim2 \\ trim3 \end{pmatrix}$$

Essa rotação pode ser efetuada pela matriz de evolução

$$G = \begin{pmatrix} 0 & 1 & 0 & 0 \\ 0 & 0 & 1 & 0 \\ 0 & 0 & 0 & 1 \\ 1 & 0 & 0 & 0 \end{pmatrix}$$

O modelo é completado por uma equação de observações que considera apenas a primeira componente do vetor paramétrico, ou seja,  $F'_t = (1, 0, 0, 0)$ . A extensão para um ciclo de  $p$  períodos é análoga.

- Uma outra modelagem de padrões cílicos pode ser feita usando **funções trigonométricas**.
- A função  $\cos(\omega(t - 1))$  é periódica com período  $\frac{2\pi}{\omega}$ . Se  $\omega = \pi/6$ , o período é 12 e o máximo ocorre para  $t = 1$ .
- Dados mensais com ciclo anual podem ser concisamente modelados via

$$y_t = a_t \cos\left(\frac{\pi(t - 1)}{6}\right) + v_t$$

onde  $a_t$  é um parâmetro que controla a amplitude e o máximo ocorre em *janeiro*. Observe a redução drástica na dimensão do vetor paramétrico de 11 para 1.

- Defasagens no ponto de máximo do ciclo podem ser acomodadas com um parâmetro extra segundo

$$y_t = a_t \cos\left(\frac{\pi(t-1)}{6}\right) + b_t \sin\left(\frac{\pi(t-1)}{6}\right) + v_t$$

A formulação dinâmica dessa função harmônica utiliza 2 parâmetros,

$$F_t = \begin{pmatrix} 1 \\ 0 \end{pmatrix}, G_t = \begin{pmatrix} \cos \omega & \sin \omega \\ -\sin \omega & \cos \omega \end{pmatrix}$$

onde  $\omega = \pi/6$ .

Esse modelo descreve um ciclo segundo uma função *coseno*.

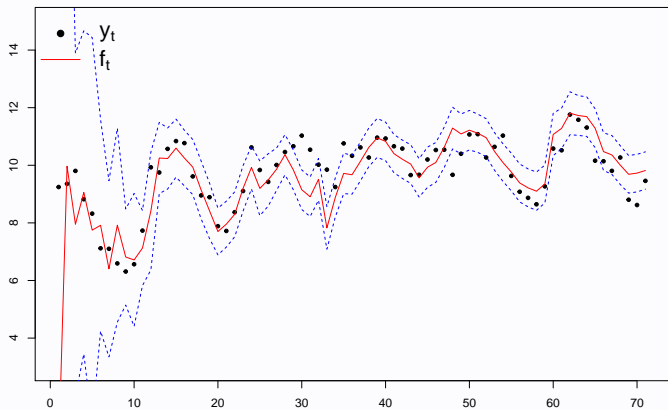
- Padrões cíclicos mais complicados podem ser modelados com a inclusão de formas harmônicas de freqüência maior. A função  $\cos(2\omega(t - 1))$  é similar porém completa 2 ciclos durante um período de tempo  $p = 2\pi/\omega$  ou  $\omega = 2\pi/p$ .
- O resultado fundamental aqui informa que qualquer padrão cíclico de período  $p$  pode ser reproduzido com a soma de, no máximo,  $p/2$  harmônicos de períodos  $p/j, j = 1, \dots, [p/2]$  harmônicos.
- A vantagem desse resultado reside em que podemos fazer **economia no número de parâmetros utilizados** e consequentemente aumentar nossa capacidade de aprendizado sobre o sistema e melhorar nossas previsões.

- A série de vendas do arquivo CANDY exibe um comportamento cíclico que até agora não havia sido tratado.
- Nas figuras a seguir apresentam-se os resultados da análise da série CANDY.DAT considerando um modelo de tendência constante e um regressor (preço), incluindo a componente sazonal representada de forma livre e com harmônicos.

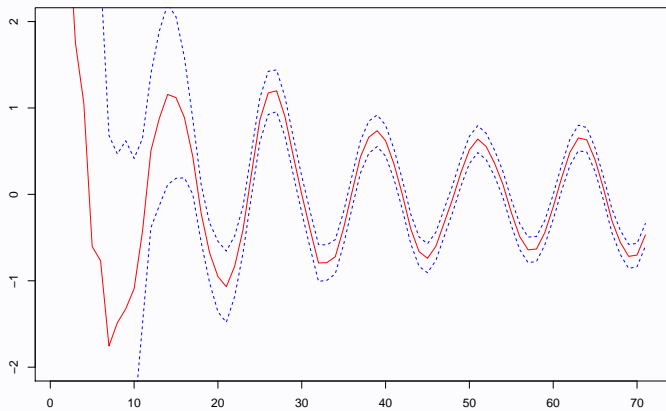
- Como os dados são mensais, temos que o período tem tamanho  $p = 12$ , havendo portanto até 6 harmônicos de períodos. O primeiro ou fundamental, de período  $12 = 12/1$ ; o segundo, de período  $6 = 12/2 \dots$  até o último, de período  $2 = 12/6$ .
- A diminuição da dimensão do vetor paramétrico é importante pois embora não altere as previsões pontuais, diminui a incerteza e facilita a monitoração da performance do modelo. Além disso, uma modelagem mais parcimoniosa acelera o tempo de processamento da análise.
- Esta modelagem da sazonalidade permite que o período do ciclo sazonal seja diferente do período natural da série e que o modelo escolhido contenha apenas o harmônico fundamental, ou seja, uma única função senoidal.

# Candy: Modelagem com 1 harmônico

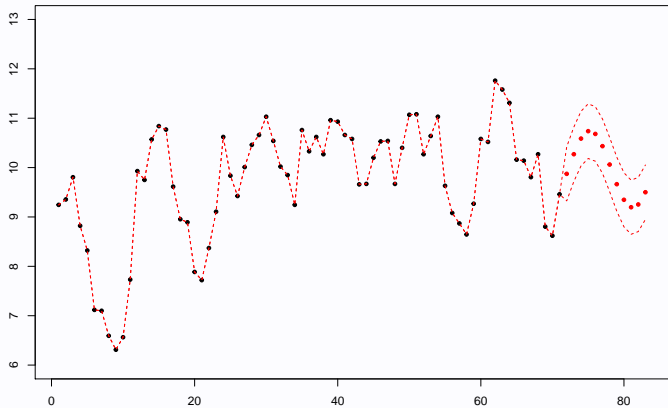
# Candy: Modelagem com 1 harmônico



## Estimativa da sazonalidade com limites de incerteza: primeiro harmônico



## Previsão com limites de incerteza: 1 harmônico



# Distribuição Normal Multivariada

O vetor  $p$ -dimensional  $x = (x_1, x_2, \dots, x_p)'$  tem distribuição normal  $p$ -variada com média  $\mu$  e variância  $\Sigma$ ,  $x \sim N(\mu, \Sigma)$ , se tem densidade :

$$f_N(x; \mu, \Sigma) = (2\pi)^{p/2} |\Sigma|^{1/2} \exp \left\{ -\frac{1}{2}(x - \mu)' \Sigma^{-1} (x - \mu) \right\}$$

onde  $|A|$  – determinante da matriz A. A normal padronizada é obtida quando  $\mu = 0$  e  $\Sigma = I_p$ , identidade de ordem  $p$ . Nesse caso, as componentes  $x_i$ 's são normais padronizadas independentes. A normal univariada é o caso particular onde  $p = 1$ .

# Propriedades importantes

Transformações lineares: se  $A$  é uma matriz  $r \times p$  e  $b$  é um vetor  $r$ -dimensional então

$$y = Ax + b \sim N(A\mu + b, A\Sigma A') \quad (5)$$

Distribuições Marginais: se o vetor  $x$  é dividido em 2 blocos  $x_1$  contendo os primeiros  $r$  componentes de  $x$  e  $x_2$ , os outros  $p - r$  então procedendo a mesma partição em  $\mu$  e  $\Sigma$  na forma

$$\mu = \begin{pmatrix} \mu_1 \\ \mu_2 \end{pmatrix} \quad \text{e} \quad \Sigma = \begin{pmatrix} \Sigma_{11} & \Sigma_{12} \\ \Sigma_{21} & \Sigma_{22} \end{pmatrix} \quad (6)$$

obtém-se que

$$x_i \sim N(\mu_i, \Sigma_{ii}), \quad i = 1, 2$$

Distribuições condicionais:

$$x_1 \mid x_2 \sim N(\mu_{1.2}, \Sigma_{11.2})$$

## Reconstrução da conjunta :

Se  $x_1 | x_2 \sim N(\mu_1 + B_1(x_2 - \mu_2), B_2)$  e  $x_2 \sim N(\mu_2, \Sigma_{22})$  então

$$\begin{aligned} x &= \begin{pmatrix} x_1 \\ x_2 \end{pmatrix} \sim N(\mu, \Sigma) \quad \text{com} \\ \mu &= \begin{pmatrix} \mu_1 \\ \mu_2 \end{pmatrix} \quad \text{e} \quad \Sigma = \begin{pmatrix} \Sigma_{11} & \Sigma_{12} \\ \Sigma_{21} & \Sigma_{22} \end{pmatrix} \end{aligned}$$

onde  $\Sigma_{11} = B_2 + B_1 \Sigma_{22} B_1'$  e  $\Sigma_{21}' = \Sigma_{12} = B_1 \Sigma_{22}$ .

em Formas quadráticas :  $(x - \mu)' \Sigma^{-1} (x - \mu) \sim \chi_p^2$ .